

## 粗面上の粒子の浮遊限界に関する研究

京都大学防災研究所 正員 芦田 和男  
 京都大学大学院 学生員○藤田 正治  
 京都大学工学部 学生員 神田 昌幸

1. まえがき 粒子の浮遊限界は、流砂量の予測などの流砂に関する諸問題の解決に重要な要素であり、著者らは滑面に対して浮遊条件式を提案し、粗面についても実験的検討を行っている。<sup>1)</sup> 本研究は、粗面上の粒子の浮上機構に関する実験的検討の成果より浮遊機構を定式化し、粗面上の粒子の浮遊限界を理論的に明らかにしようとするものである。

2. 粒子の浮遊機構の定式化 著者らの研究<sup>2)</sup>によれば、揚圧力  $F_{lo}$  により河床から浮上した粒子は小跳躍し、さらに河床付近からの上昇流による流体力によって浮遊するものと考えられる。(図-1 参照) そこで、上述の浮遊機構を Tchen による粒子の鉛直方向の運動方程式である(1)式で定式化する。(1)式中の  $F_D$ 、 $F_L$  は鉛直方向の流体力および揚圧力、 $G$  は水中重力であり、(2)~(4)式で表わされ、また(1)式の初期条件 ( $F_{lo}$  が作用し始める時刻  $t_0$  の条件) は(5)式のようである。

$$\frac{\pi}{6} d^3 (\rho + \frac{\rho}{2}) \frac{dV_p}{dt} = F_D + F_L + \frac{1}{2} \frac{\pi}{6} d^3 \rho \frac{dV}{dt} - G \quad \dots \dots (1)$$

$$F_D = 3\pi \rho V_p d (V - V_p) \quad \dots \dots (2) \quad F_L = \frac{\pi}{6} d^3 \rho \frac{dV}{dt} \quad \dots \dots (3) \quad G = \frac{\pi}{6} d^3 (\rho - \rho) g \quad \dots \dots (4)$$

$$t=0; V=0, V_p=0, F_D=0 \quad \dots \dots (5)$$

ここで、 $d$ : 粒径、 $\rho$ : 粒子および流体の密度、 $V_p, V$ : 粒子および流体の鉛直方向の速度、 $\mu$ : 動粘性係数である。

さて、浮遊機構を(1)式でシミュレートするとき、上式の妥当性や  $F_L$  の時間変化などが問題であるが、これに関してポリスチレン粒子 ( $\rho/\rho = 1.05$ ,  $d = 0.142$  cm) の浮上軌跡<sup>2)</sup> を用いて検討する。なお実験は摩擦速度  $U_* = 1.40$  cm/s で行われた。

1/30 秒毎の軌跡から河床上 0.08 cm での  $V$ 、 $F_{lo}$ 、 $t = 1/30$  秒ごとの  $F_L$  を上式から計算し、それらの確率分布を示したのが図-2, 3, 4 である。図-2 より  $V$  の推定値は、平均 0 cm/s、標準偏差  $V' = 2U_*$  の正規分布とほぼ一致している。これは粗面河床付近で  $V' = U_*$  という知見と異なるが、粒子が浮上する場合を対象としているため分布型に歪み生じたからであると考えられる。この事より、上式の浮遊機構への適用の妥当性が示唆される。つぎに、 $F_L$  は図-3、図-4 に示すように平均値 0 の正規分布に従うが、その値は河床面

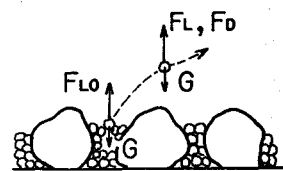


図-1 粒子の浮遊機構

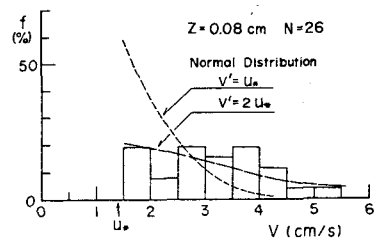


図-2  $V$  の確率分布 ( $V \geq 1.5$  cm/s)  
(N はサンプル数)

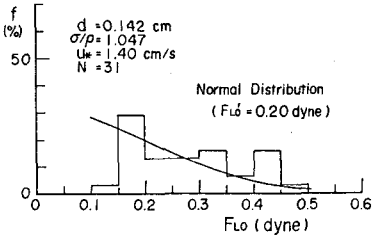


図-3  $F_{lo}$  の確率分布 ( $F_{lo} \geq 0.20$  dyne)

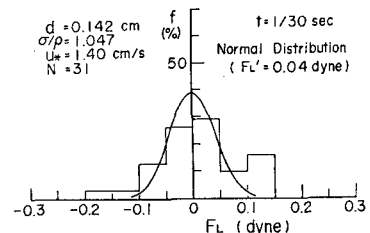


図-4 浮上後 1/30 秒ごとの  $F_L$  の確率分布

から上に行くにつれて急激に減少する。 $(F_{lo}' = 0.2 \text{ dyne}, \text{ 浮上後 } 1/30 \text{ 秒で } F_l' = 0.04 \text{ dyne})$  したがって、粒子は  $F_l'$  の作用で浮上し、その後は  $F_{lo}'$  の作用で浮遊へ移行するものと考えられる。ここで、 $F_{lo}' \propto \rho v^2, d^2 \times v' \approx U_k \times 11.2$  関係を用いると、 $F_{lo}'$  は(6)式のようになる。

$$F_{lo}' = C \rho U_k^2 d^2 \quad \dots \dots (6) \quad \text{ここに, } C \text{ は定数で図-3から推定すると } C=5.06 \text{ である。}$$

3. 粒子の浮遊限界 2で述べた浮遊機構に従って、まず粒子の浮上条件を求める。浮上条件は  $F_{lo} > G$  であるが、 $F_{lo}$  は図-3に示すように正規確率変数と考えられるので、この条件式を  $\alpha F_{lo} > G$  と表示する。この式は、河床粒子の浮上確率が  $P_d$  ( $F_{lo} > \alpha F_{lo}'$  となる確率) より大きくなるときの条件式である。ここで、 $P_d$  の値はたとえば  $d=1, 3$  で  $P_d=15.87\%, 0.13\%$  である。(6)式より、この条件式は(7)式のように表わされる。

$$U_k^2 / (sgd) > (\pi/6) / (\alpha C) \quad \dots \dots (7) \quad \text{ここに, } S = \frac{\Phi}{\rho} - 1 \text{ である。}$$

(7)式の条件で浮上した粒子は小跳躍し浮遊へと移行するが、この過程で粒子に作用する力は前述したとおり上昇流による流体力  $F_D$  のみを考えることができる。この  $F_D$  の算定には  $v_p$  の値が必要であるが、これは  $F_{lo}$  × その作用時間および(1)式(ただし  $F_l=0$ )から計算されその確率分布が得られる。しかし、ここでは簡単な場合として、小跳躍の最大飛行高から粒子が浮遊すると考えると、そのとき  $v_p=0$  であり、また浮遊条件は  $d dv_p/dt > 0$  と表わされるので、(1)式(ただし  $F_l=0$ )より浮遊条件は  $F_D = 3\pi \rho v_p d v' > G$  となる。小跳躍の最大飛行高は粒径の数倍程度であり、 $v' \approx U_k$  とすると、浮上した粒子が  $P_d$  ( $F_D > \beta F_{lo}'$  となる確率;  $F_{lo}'$  は  $F_{lo}$  の標準偏差) より大きい確率で浮遊する条件は(8)式のようになる。

$$\frac{U_k^2}{sgd} > \frac{1}{18\beta} \frac{U_k d}{v'} \quad \dots \dots (8)$$

以上より、浮遊条件は(7), (8)式を同時に満たす領域となり、浮遊限界は浮上確率や浮遊確率の大きさによって異なる。図-5は  $\alpha=1, 3, \beta=1, 3$  のときの(7), (8)式から定まる限界( $\alpha$  と  $\beta$  が  $F_l=0$  と  $F_{lo}=0$  のとき)を示したもので、参考のため限界揚流力の無次元表示  $T_{ws}$  と沈降速度  $w_s$  の曲線も示されている。この図から、 $d$  が小さいと浮遊条件 = 浮上条件となり、そのような粒子の流送形態は主に浮遊であるのに対し、 $d$  が大きくなると 浮遊条件 > 浮上条件となり、そのような粒子の流送形態には掃流のみの領域が存在することが推察される。また、図中には、 $d=59, 163 \mu, \alpha/ \rho = 2.65$  および  $d=0.142 \text{ cm}, \alpha/ \rho = 1.05$  の粒子の粗面上での浮遊限界の実測値が示されており、この浮遊限界の基準が「粒子が浮遊し始める限界」であるのに、 $d=0.142 \text{ cm}$  のものを除けば実測値は理論値よりかなり大きい値となっている。これは、粗粒子による遮蔽効果が理論に考慮されていないことや、(6)式の  $C$  の値の推定が必ずしも適当でないためだと思われる。

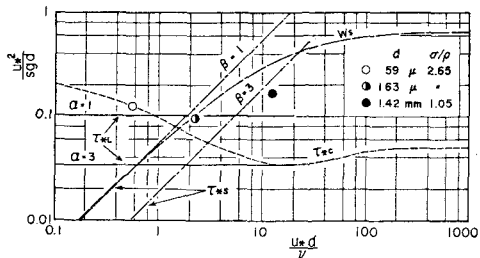


図-5 粗面河床上の粒子の浮遊限界

4. あとがき 3で指摘したように、遮蔽効果を浮遊限界の理論に導入すること、また揚圧力  $F_l$  の定量的な評価をもう少し詳しく検討することを今後の課題とした。

〈参考文献〉 1) 芦田, 岡部, 藤田; 粒子の浮遊限界に関する研究, 第27回水理講演会論文集, 1983

2) 芦田, 藤田, 神田; 粒子の浮上機構に関する実験的研究, 昭和58年度関西支部年講(投稿予定)